

活性汚泥微生物の連続培養系における非定常特性について

北海道大学工学部 正会員 寺嶋 重雄
学生員 ○加藤 善盛

1. はじめに

活性汚泥法に限らず多くの生物学的な廢水処理の制御に関する、発酵工業等工業微生物分野におけるのと異って、流入源の負荷量を人為的に制御することが原則的に不可能であるという点でオーナーの困難性が伴っている。またオーナーの制御に関する困難性は、多種類の微生物群により構成されており、生物自身による生態学的な意味での制御構造が働きにくい点にあります。以上の二つの基本的な困難性の故に、実際処理プラントでは、きわめて非定常的な条件下に運転せざるを得ない。オーナーの問題には、それをオーナーの Input の変動の結果として与える方が妥当であろうから、生物学的処理プロセスの合理的な設計とともに運転(制御)は、基本的に Input の非定常性に対する微生物の増殖、代謝などの応答特性を明らかにすることにかかっています。この場合、定常、非定常を問わず微生物の反応を如何する動力学によって記述するかが問題となる。種々の環境条件下において、それに応じて種々の生理学的な制御が行われ、その結果増殖、基質の摂取、細胞形態、細胞表面の特徴的な物性等が制御されている。環境条件と増殖の関係については、主として細胞外基質濃度と増殖速度の関係を動力学に基づいた Monod 理論により一般に取り扱われてきたが、微生物の生理学的内容を記述するものではないため、特に非定常条件下での適用する場合には限界があることが容易に推察されよう。著者らは先にバッキ実験の結果から、基質除去活性あるいは代謝活性が、微生物の生理的条件のちがい(より具体的には、細胞主要成分の構成比のちがい)に左右され細胞内の炭水化物と核酸が分子またはタンパク質の動向が重要であることを述べた¹⁾。本報告の目的は、活性汚泥プロセスの動的解析の基礎として Recycle の付与連続培養条件下における非定常特性について実験的検討を行い新たなモデル提示のための基礎的知見について述べることにある。

2. 一般的考察

Recycle の伴わずに完全混合連続培養システムでの微生物濃度と増殖制限基質濃度の変化は、次式で表わされる
微生物濃度に関して $\frac{dx}{dt} = \mu \cdot x - D \cdot x$ (1)

基質濃度に関して $\frac{ds}{dt} = D(S_i - S) - \mu \cdot x \gamma$ (2)

ここで x ; 微生物濃度(mg/l) S_i ; 流入基質濃度(mg/l) S ; 流出基質濃度(mg/l)

μ ; 比増殖速度(h⁻¹) γ ; 転換率 D ; 希釈率($=\frac{Q}{V} = \frac{1}{t_a}$; Q; 流量, V; 反応槽容積, t_a; 別留時間)(h⁻¹)

Herbert らは $\mu = \mu_{max}$ モデルを適用し連続培養系の理論的、実験的解析を行った²⁾。Monod の提示した基質濃度と μ の関係式は

$$\mu = \mu_{max} \left(\frac{S}{K_{S0} + S} \right) \quad (3)$$

ここで μ_{max} ; 最大比増殖速度(h⁻¹), K_{S0} ; 飽和定数($\mu = \frac{1}{2} \mu_{max}$ の時の基質濃度 S)(mg/l)

(3)を(1)および(2)に代入すると

$$\frac{dx}{dt} = \left\{ \mu_{max} \left(\frac{S}{K_{S0} + S} \right) - D \right\} x \quad (4)$$

$$\frac{ds}{dt} = D(S_i - S) - \frac{\mu_{max}}{\gamma} \left(\frac{S}{K_{S0} + S} \right) x \quad (5)$$

定常状態における $\frac{dx}{dt} = 0$, $\frac{ds}{dt} = 0$ において式(1)より

$$\mu = D \quad (6)$$

ところで自己消化速度を考慮するとすれば、真の増殖速度を μ_t , 自己消化速度を μ_d で表わすと μ_t は見かけ

上の比増殖速度であるから

$$M = M_t - M_d \quad (7)$$

式(2)より

$$Y_T = (S_i - S) / M_t \quad (\text{添字} T \text{は定常値を示す}) \quad (8)$$

式(4)から

$$S = k_{rs} \left(\frac{D}{M_{max} - D} \right) \quad (9)$$

式(5)から

$$X_T = Y \{ S_i - k_{rs} \left(\frac{D}{M_{max} - D} \right) \} \quad (10)$$

パラメータ M_{max} , Y , k_{rs} が既知である場合には、式(4), (5)の数値解を得ることにより、遷移状態の微生物濃度、および基質濃度の応答の予測が可能である。これらのパラメータは、バッチ実験あるいは連続流の実験結果(式(7), (8))から決定される。

3. 実験方法

槽実験槽 5L の連続培養装置を用い、散気球④により約 5L/min の空気量でエアレーションを行い混合液はオーバーフローさせ③連続的に Drainを行った。植種は長期陶グルコース基質で 24 時間サイクルの fill and draw 方式で培養した活性汚泥の沈殿上澄水をもって行い、増殖が活発になつた後、各滞留時間で連続培養を開始した。基質は微定量ポンプにより連続注入①した。装置の概略を図-1に示す。非定常実験は少くとも二日間以上定常値を保つた後に行つた。基質の組成は表-1に示す通りである。微生物濃度は OD_{660nm}により測定し、メンブレンフィルター法で求めた検量線から固形物濃度に換算した。流出水中の基質濃度は、0.45μm のメンブレンフィルターろ液中の糖濃度をフェール硫酸法⁴⁾により定量しグルコース当量で表わした。また一部 TOC も測定した。細胞の炭水化物含量は、混合液の炭水化物濃度を Total とし、ろ液中の炭水化物の濃度差から求めた。培養槽内 DO は EIL 社の DOX-1A により連続記録を行つた。実験期間中、槽壁に生物が付着するのを防ぐため頻繁に混合液で洗い落した。温度は槽中央のヒーターにより 20°±0.8°C に保つた。

4. 実験結果とその検討

4-A 定常状態について

定常状態の結果を表-2に示す。Monod式の定数 k_{rs} および Y_T は式(7), (8)から各恒定率について求めた。 Y_T および細胞炭水化物含有率(G)を図-2に、 k_{rs} および基質残存率($E_r = S_i/S_m$)を図-3に示した。これらの図から式(4), (5)におけるミステム定数とされる Y および k_{rs} は両者とも定数とみなすこと

ができる。転換率 Y に関する同様の傾向特に純綿培養の実験結果に見られる^{5), 6)}、同じグルコース基質を用いた混合微生物系について行った Gaudy らの報告(Y はほぼ一定)と結果を異にする。また Gaudy らは Monod モデルが混合微生物系においてもよく適用できるとしている。ところが定常状態では、 $M = D$ であるから連続流データから k_{rs} を求めるには $D = \frac{1}{2} M_{max}$ の時の基質濃度をすればよい。Gaudy らの連続流のデータから二のようにして k_{rs} を求めると炭水化物 COD で 8mg/l となつており矛盾している。

次に Y が変化することについてあるが、希釈率の減少に伴い転換率が低下する原因として次の三つの現象が考

表-1 基質組成(pH 7.4)

グルコース	1.00gr
塩化アンモニウム	0.35gr
硫酸マグネシウム	0.07gr
リチウム	0.18gr
リチウム	0.95gr
水道水	1L 中

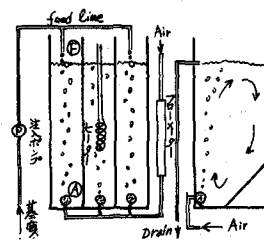


図-1 装置概略図

表-2 定常値

実験NO	D (kg ⁻¹)	S _m (ppm)	S _i (ppm)	S _T (ppm)	X _T (ppm)	G(%)	Y _T (%)	E _r (%)	F _s	K _S
A-1	0.049	1000	2000	7.8	44.6	27.8	45.0	0.78	0.110	66.2
A-2	0.067	970	2000	7.4	47.1	18.1	48.1	0.76	0.140	44.0
A-3	0.095	1000	2000	12.8	53.6	21.3	54.3	1.28	0.177	49.7
A-4	0.133	1040	2000	8.9	56.1	21.9	56.6	0.86	0.238	22.3
B-1	0.168	468	750	3.2	27.9	21.8	55.9	0.68	0.281	5.7
B-2	0.168	468	998	3.5	27.8	20.1	59.4	0.73	0.281	6.2
B-3	0.168	450	1250	4.0	27.9	19.5	62.6	0.89	0.271	7.1
B-4	0.168	500	1500	3.0	29.1	21.2	58.6	0.60	0.289	5.3
C-1	0.252	500	1000	12.1	33.7	16.3	69.1	2.32	0.374	10.2
C-2	0.252	1000	2000	7.6	62.1	17.9	63.4	0.80	0.402	6.4
D-1	0.444	500	1000	18.9	31.3	15.3	57.8	3.78	0.798	1.0

S_m : 初期定常状態の流入濃度

S_i : 非定常実験における Step 变化流入濃度

G : 細胞炭水化物含有率

E_r : 基質残存率

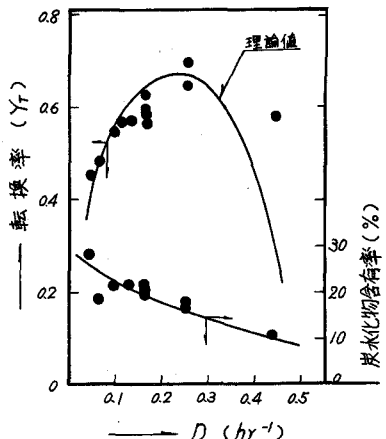


図-2

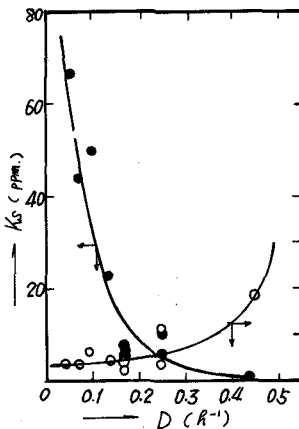


図-3

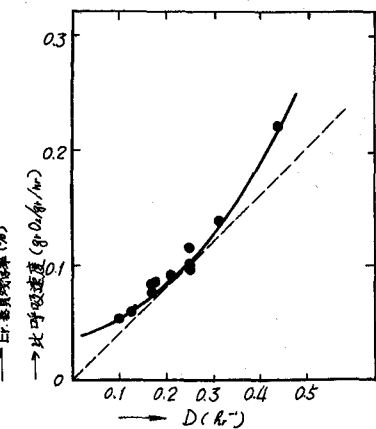


図-4

えり出している。すなわち、(a)平均滞留時間が増加するにつれ inhibitor の濃度が増加することによる⁸⁾。(b)細胞の老死化により流出速度に相対的にみあうだけ増殖がバランスできない⁹⁾、(c)維持エネルギーの相対的増加¹⁰⁾の三つである。本実験の結果を(b)に関連あると考えられる通常の自己消化速度 ($\mu_d = 0.003 \text{ hr}^{-1}$) で補正(式(2)から $Y = \mu_d / (S_m - D)$ $\mu_d = \mu + \mu_d$ であるから μ_d の値は $\mu_d = \mu_d$ を用いて計算)しても無視小であつた。(c)との関連で希釈率と比呼吸速度をみると、図-4に示したように、 $D < 0.2 \text{ hr}^{-1}$ において相対的に比呼吸速度の高い傾向がみられる。また図-2に示した細胞炭水化物含有率は、 D が小さくなるにしたがい高くなつてあり、老死細胞が多くなり全体として細胞壁成形比が大きくなつてゐるものと推察される。

式(4), (5)に離してパラメータが一定でない場合、非定常下で振動現象を生じシステムの不安定性を増大する二ことが考えられ、パラメータの特性は重要である。以上の結果から混合微生物系である活性汚泥の如く、流入源の非定常性から、生物の生理状態の制御に重要なことを考慮したモデルが必要である。Monod モデルは混合微生物系の定常状態においてもそのまゝ適用できない。

4-B 非定常時の比増殖速度、転換率の拳動とその関連性

非定常時の μ の拳動に離して在来二つの考え方がある。まず、増殖が一連の酵素反応の結果とし、特に基質濃度が増加または減少したときに酵素反応の、ある動的な平衡状態から次の新しい平衡状態に達するまでの時間的遅れがある場合、図-6に示すようなヒステリシス曲線の關係があるとする考え方である。¹²⁾

混合微生物系での非定常下の過渡応答をこのモデルで説明しようとする試みはされておりが定量的表示の段階までいたつてない。¹³⁾ 他の一つは温度、流入濃度の Step 上昇に対し比増殖速度が急増する現象があることから有効反応ポテンシャルの概念の導入である。¹⁴⁾ すなわち微生物はある環境下で RNA したがって蛋白質の合成活性が最大レベルにあるのではなく Step 変化が生じた場合、その最大活性レベルをひととんど瞬時に上昇可能とするものである。また Schaezler は、混合細菌系と糸状菌をつかつたバッタ実験と連続培養実験の結果から、負荷率に相当する次式で示されるような基質フラックスが基質濃度より制御因子となりうることを示唆している。基質フラックスを F_s と書かせば、¹⁵⁾

$$F_s = D \cdot S_m / X \quad (11)$$

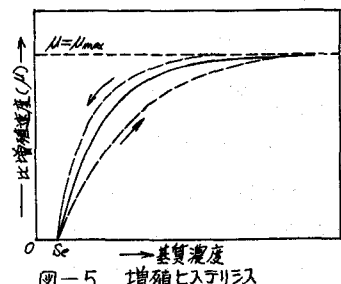


図-5 増殖ヒステリシス

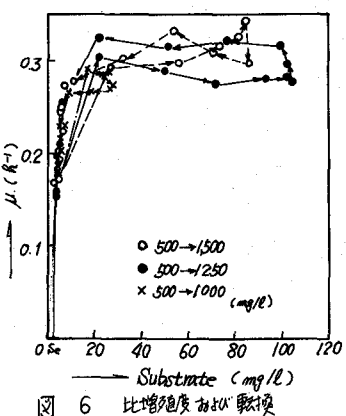


図-6 比増殖度における駆使

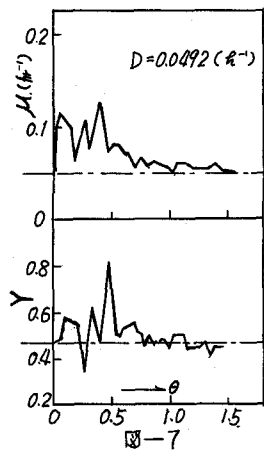


図-7

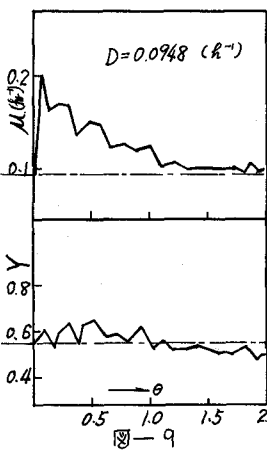


図-9

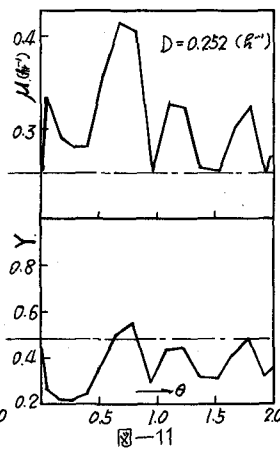


図-11

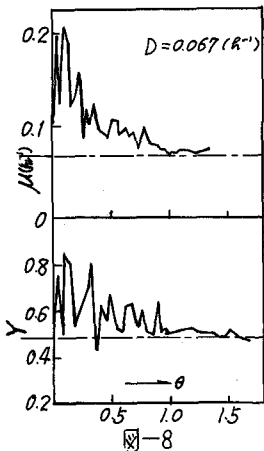


図-8

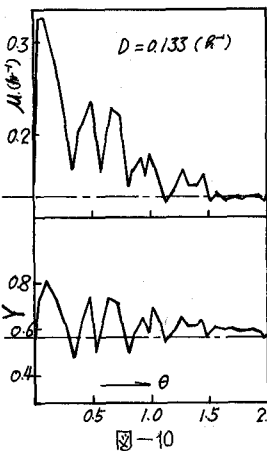


図-10

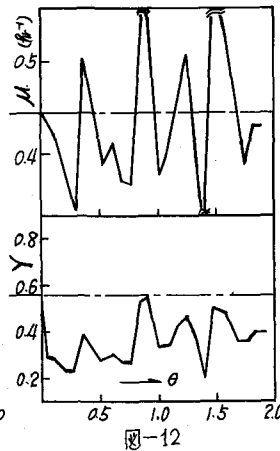


図-12

図-7～図-12；流入基質濃度が2倍のStep変化の場合の比増殖速度(μ)および転換率の過渡応答

図-13；

細胞炭水化物含有率の過渡応答

$\theta = t/t_a$ (t_a ：平均滞留時間)無次元時間

(定常レベル ————)

本実験のほかで、非定常時に比較的流出水中の基質濃度の変化の大きかった実験番号B-2, 3, 4の結果から、比増殖速度と残存基質濃度との関係を求めたのが図-6である。この結果から実験誤差の範囲内(図-5)示すような明瞭なヒステリシス現象はみられなかった。また比増殖速度が律速を受ける基質濃度のレベルは低く、比較のために便宜的に μ_s 値を示すと約6ppm程度であった。流出水の基質濃度の変化は次頁図-14に示す。

次に非定常時ににおける比増殖速度と転換率の変化であるが、流入基質濃度のStep変化を初めの定常値の2倍に変化させた実験A, C, Dの結果を図-7～図-12に示す。(尚ルカリYの計算はサンプリング時間间隔の範囲内で $dX/dt = \Delta X/\Delta t$, $dS/dt = \Delta S/\Delta t$ となる式¹¹, 12)から求めた)。この結果をみると、比増殖速度は流出水の基質濃度が定常値のレベルを13%維持できる希釈率の範囲内($D \leq 0.133 \text{ hr}^{-1}$)では、Step変化と同時に急増し、その後指数的に減衰して11%最初の定常レベルに漸近した。またこの場合の転換率の変化は、比増殖速度の動向と同様の挙動を示した。流出基質濃度の変化に対する比増殖速度の二つの挙動は、その時の平均滞留時間おなわち希釈率に密接に関係するといふ意味ある結果が得られていているが、基質濃度が定常レベルを維持できず上昇する希釈率の条件では、比増殖速度の増加は急激ではなく、その転換率は逆に低下しその後定常値に回復する傾向がみられた。

本報では生理的な変化の指標として細胞内炭水化物含有率の動向しか追えなかつたが、図-13に示した様に特徴的な変化を示した。おなわち流出水の基質濃度の変化がほとんどない希釈率の範囲内において、Step変化ヒ

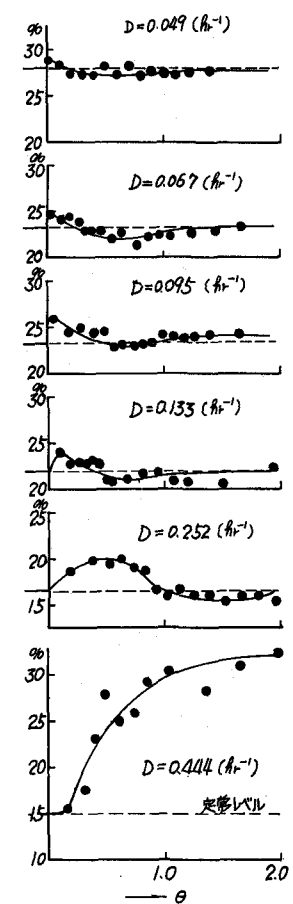


図-13 細胞炭水化物含有率の過渡応答

同時に若干の急増があり、その後わずかであるが定常レベル以下に一時的に低下し定常値へと漸近した。しかしながら流出水基質濃度の変化の大さり実験C-1 ($D=0.252 \text{ h}^{-1}$) の結果では、非定常の初期に炭水化物の蓄積が著しく、図-14に示したように流出水の基質が増加し続けた実験D-1 ($D=0.444 \text{ h}^{-1}$) の場合には、炭水化物の蓄積が進行し受け回復はみられなかつた。

以上の結果を総合すると、比増殖速度はあるレベルまで急増可能なこと、そのレベル以下では、比増殖速度と転換率は正の相関を示し、それ以上のレベルでは負の関係となることが判明した。このうち後者の関係は図-2に示した定常値の動向と同じ傾向になつてゐる。実験B系列で行った希釈率を一定として流入濃度の変化量を4段階にとった時の結果では、変化量が小さいと、基質濃度は定常レベルを維持するが大きい場合には、図-13の $D=0.252 \text{ h}^{-1}$ と同様のパターンを示した。したがつて図-6に示したように律速基質濃度レベルの小さなことと考え合せると、比増殖速度、転換率の変化の原因は、濃度が律速因子ではなく前述したように基質フラックスが律速因子ヒヤニヒヤ推察される。そこでこの基質フラックスと、定常時の基質濃度に対する非定常時のピーク値の比率との関係を全実験について求めめた。これを図-15に示す。図から明らかなように流出水の基質濃度が実際に変動を示さない最大基質フラックスが存在し、このフラックス以上では、ピーク値が基質フラックスに比例して増加した。このことは基質フラックスの増加に対して微生物の増殖の方に制限があることを示し、したがつて比増殖速度と基質フラックスの関係を動力学モデルとして設定する必要があるのではないか。非定常時ににおける実験結果からその関係を求めたものが図-16である。この関係は見方を変えると各基質フラックスに対応した可能増殖能を示し、増殖Capacityを表わしていいとも考えることができる。いま Monod の修正式に準拠して増殖Capacityを次式で定義することにする。

$$\mu = \mu_{\max} \left(\frac{F_S}{k_F + F_S} \right) \quad (12)$$

ここで F_S : 基質フラックス(h^{-1}) k_F : 定数(h^{-2})
本混合微生物系では $\mu_{\max} = 0.465 \text{ h}^{-1}$, $k_F = 0.119 \text{ h}^{-2}$
であった。

ところで定常状態における転換率は式(1), (2)から

$$Y_T = X / (S_i - S) \quad (13)$$

$S \ll S_i$ の場合には實際上 $Y_T = X / S_i$ で表わせるから

$$\therefore Y_T = \mu / F_S \quad (14)$$

[式(14)の右側分子分母に D を乗ずると $Y_T = D \cdot X / S_i \cdot D$ 、定常では $\mu = D$ である。]

$$[Y_T = \mu / (X / D S_i) \text{ と式(13)を代入すれば } Y_T = \mu / F_S]$$

したがつて増殖Capacityを表わす式(12)から $S \ll S_i$ の範囲内で理論的に求めることができるのである。その理論曲線を図-2に実線で示した。 $D=0.444 \text{ h}^{-1}$ の場合を除いて、かなりよく一致がみられる非定常下の転換率の変化も式(12)および式(14)から理論的に求めることができるとだろう。

したがつて、増殖Capacityの概念を導入することにより従来 Monod モデルで示すことのできなかった転換率が

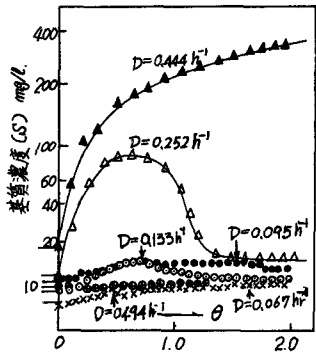


図-14 非定常時の基質濃度の変化

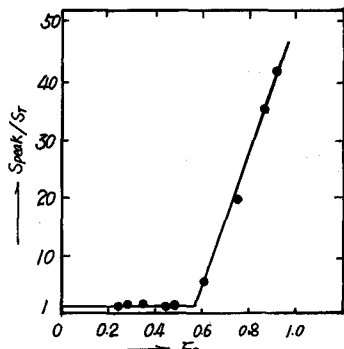


図-15 基質フラックスと基質上昇度の関係

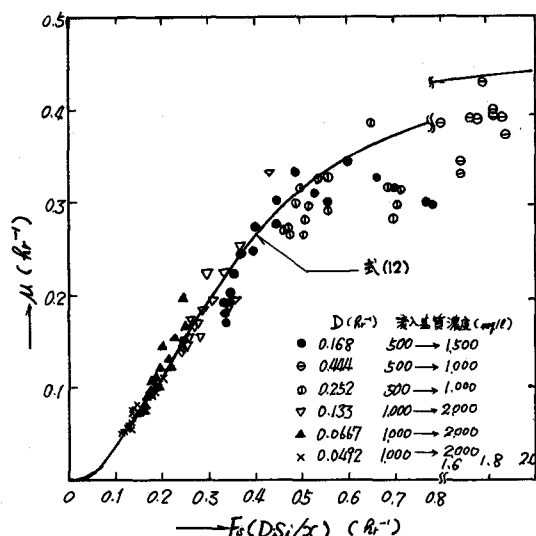


図-16 増殖Capacity曲線

変数として取り扱え、また非定常条件下の比増殖速度および転換率の挙動が同時に追跡可能になるものと考える。

4-C 非定常時の代謝活性(呼吸活性)および代謝生成物の分泌についての結果の一例を図-17 に示した。ここで呼吸活性は培養槽内の DO レベルの変化から実際の培養槽の KLa を用い酸素吸収の式から呼吸速度を計算して呼吸速度として表示した。本例は $D=0.168 \text{ h}^{-1}$ の場合で流入基質濃度を 500 mg/l から 1500 mg/l に Step 変化させたものである。呼吸活性度の初期の上昇は急でありその程度は比増殖速度の急増の程度とほぼ同じであった。また急速に低下する際のパターンは、基質濃度特に培地中に分泌されたグルコース以外の物質の消失と類似しているが、比増殖速度の方はこの段階でも比較的緩慢に低下しつつ定常値に漸近している。したがって呼吸活性は、比増殖速度または、基質フラックスに比例的と考えられる部分と外部基質濃度に関係した部分の主に二つの活性部分から成っているものと思われる。

代謝生成物は、流入基質が残存している間中生成が進行しており、残存基質濃度がかなり低下すると再吸収されるようである。興味あることに、代謝生成物が上昇する時期と蓄積された細胞炭水化物が減少はじめう時期に一致がみられ呼吸活性の上昇と何らかの関係があるのではないか。これらの非定常条件下の生理的な状態の変遷の把握はまだ不充分であり、増殖に関する他の因子との相互関係を明らかにしていく必要があろう。

5.まとめ

活性汚泥微生物の連続培養系での非定常条件下における実験的検討の結果従来よく使用されてきた Monod 式のパラメータが変数であることを示し、実際に向問題となる基質濃度の範囲では濃度より基質フラックスが制御因子となることから増殖 Capacity の概念を導入した。これにより非定常条件下における比増殖速度、転換率の基本的な二因子の挙動を同時に追跡することが可能になったと考える。すなわち式(12)で提示した増殖 Capacity モデルにしたがえば、

システム変数 D , S_i , X が含まれており、実際に想定される D と S_i の任意の変化に対応じうるであろう。ただし μ_{max} (したがって Y に対して) に影響を及ぼすと考えられる細胞炭水化物の蓄積 呼吸活性の上昇といった生理変化の効果、あるいは代謝生成物による Inhibition 效果等に関してはさらに検討を要する問題であろう。

終わりに終始有益な助言を承った当教室神山桂一助教授ならびに多大な協力をいただいた院生井上雄三君に深く感謝の意を表します。

6.参考文献

- 1) 生沢、山内、加藤、井上; 第9回下水道研究発表会講演集 昭47, PP96
- 2) 加藤、井上; 第9回衛生工学討論会論文集 PP150-157 (1973)
- 3) D. Herbert, R. Elsworth & R.C. Telling; J. Gen. Microbiol. 14, 601-622 (1956)
- 4) 「生物化学実験法—糖質実験法」別冊 9 白質核酸酵素 (1968)
- 5) A.G. Marr, E.H. Nilson & D.V. Clark; Ann. N.Y. Acad. Sci. 102, 536 (1963)
- 6) R. Mor & Flechter; Biotech. and Bioeng. X 787-803 (1968)
- 7) A.F. Gaudy, Jr., M.Ramanathan & B.S. Rao; Biotech. and Bioeng. IX 387 (1967)
- 8) D.Ramkvistna, A.F. Frederickson & H.M. Tsuchiya; Biotech. and Bioeng. IX 129 (1967)
- 9) D.S. Schaezler, W.H. Mcharg & A.W. Busch; Biotech. and Bioeng. Simp. No.2 107-129 (1971)
- 10) C.P.L. Grady, Jr. & A.F. Gaudy, Jr.; Appl. Microbiol. 18 790 (1969)
- 11) S. Koga & A.E. Humphrey; Biotech. and Bioeng. IX 375-386 (1967)
- 12) C.J. Perret; J. Gen. Microbiol. 22 589-617 (1960)
- 13) F.F. Stoter & A.F. Gaudy, Jr.; Environmental Science & Technology 3 2 143-149 (1969)
- 14) J.C. McLellan & A.W. Busch; Proc. 24th Industrial Waste Conference Purdue University (1969)
- 15) R.I. Mateles, D.Y. Ryu & T. Yasuda; Natur 208 PP 263-265 (1965)
- 16) 寺島、加藤、井上; 土木学会 第28回国次学術講演概要集 (1973)

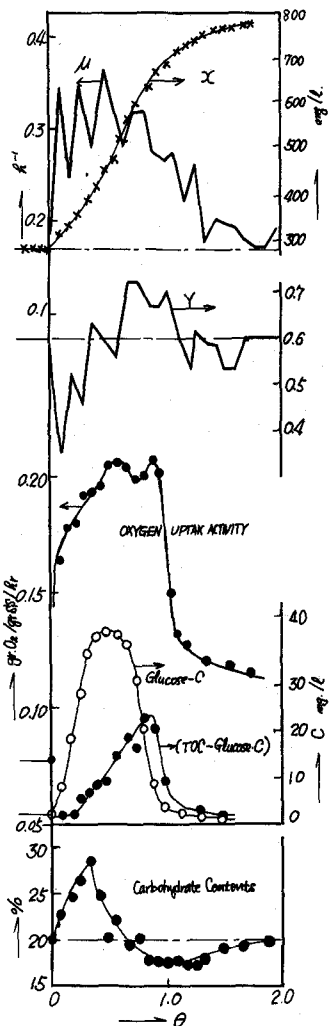


図-17 呼吸活性代謝微生物